

# Relatório - Trabalho 02

## MO443 - Introdução ao Processamento de Imagem Digital

VINICIUS TEIXEIRA DE MELO - RA: 230223

Universidade Estadual de Campinas

[viniciusteixeira@liv.ic.unicamp.br](mailto:viniciusteixeira@liv.ic.unicamp.br)

8 de Maio de 2019

### I. ESPECIFICAÇÃO DO PROBLEMA

O objetivo deste trabalho é implementar duas técnicas de quantização de cores, definidas como técnicas de pontilhado que visam reduzir a quantidade de cores utilizadas para exibir uma imagem, procurando manter uma boa percepção por parte do usuário.

O trabalho é dividido em duas partes. A primeira é escrever uma função para alterar os níveis de cinza  $[f_{min} \dots f_{max}]$  de uma imagem  $f(x, y)$  por meio das técnicas de pontilhado (*half-toning*) ordenado, produzindo uma imagem  $g(x, y)$ .

O algoritmo de pontilhado ordenado utiliza um conjunto de padrões formados por pontos pretos e brancos. O conjunto de dez padrões, ilustrados na Figura 1, pode ser representado por meio da matriz  $M_{3 \times 3}$  a seguir:

$$M_{3 \times 3} = \begin{bmatrix} 6 & 8 & 4 \\ 1 & 0 & 3 \\ 5 & 2 & 7 \end{bmatrix}$$

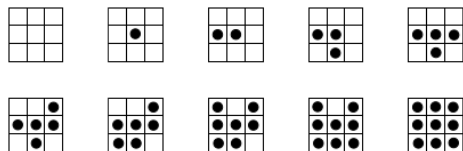


Figura 1: Dez padrões de 3 x 3 pixels.

Os valores das células da matriz podem ser utilizados como limiares. Se o valor do pixel (normalizado entre 0 e 9) for menor do que o número correspondente à célula da matriz,

o pixel será substituído pelo valor preto, caso contrário, será substituído pelo valor branco.

Uma outra máscara, conhecida como matriz de pontilhado ordenado de Bayer, é dada por

$$M_{4 \times 4} = \begin{bmatrix} 0 & 12 & 3 & 15 \\ 8 & 4 & 11 & 7 \\ 2 & 14 & 1 & 13 \\ 10 & 6 & 9 & 5 \end{bmatrix}$$

A segunda parte do trabalho é aplicar o algoritmo de pontilhado por difusão de erro também transforma a imagem original em uma imagem contendo apenas os valores preto e branco, entretanto, leva em consideração os valores ao redor de cada pixel. A técnica de pontilhado por difusão de erro de *Floyd-Steinberg* é resumida a seguir:

1. percorra todos os pixels da imagem, segundo uma ordem pré-definida;
2. para cada pixel, se seu valor for maior do que 128, troque-o para 255 (branco). Caso contrário, troque-o para 0 (preto). Armazene o erro, ou seja, a diferença entre o valor exato do pixel e o valor aproximado.
3. distribua o erro aos pixels adjacentes, da seguinte forma (Figura 2):

- (a) adicione  $\frac{7}{16}$  do erro ao pixel localizado à direita.
- (b) adicione  $\frac{3}{16}$  do erro ao pixel localizado abaixo e à esquerda.
- (c) adicione  $\frac{5}{16}$  do erro ao pixel localizado abaixo.

- (d) adicione  $\frac{1}{16}$  do erro ao pixel localizado abaixo e à direita.

	$f(x,y)$	$7/16$
$3/16$	$5/16$	$1/16$

**Figura 2:** Distribuição de erro na técnica de pontilhado com difusão de erro de Floyd-Steinberg.

A ordem na qual a imagem é percorrida pode produzir resultados diferentes no processo de dithering. A varredura da esquerda para a direita (Figura 3(a)) pode gerar padrões indesejados ou a impressão de uma certa direcionalidade na imagem resultante. Para evitar esses efeitos, uma alternativa é modificar a direção de varredura a cada linha (Figura 3(b)).



**Figura 3:** Formas de varredura da imagem.

Portanto, o trabalho é a aplicação dessas duas técnicas de pontilhado.

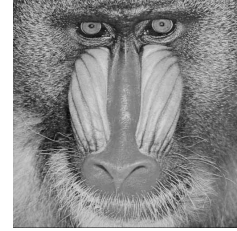
## II. ENTRADA DE DADOS

O código fonte criado para a execução de todas as tarefas está no notebook **Trabalho 02.ipynb**. O código foi criado para aceitar imagens em tons de cinza do tipo PGM (*Portable GrayMap*).

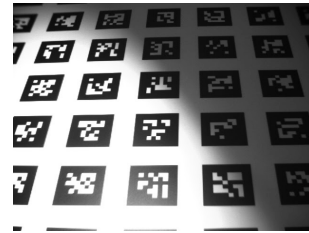
Para executar o notebook, basta iniciar o ambiente *Jupyter Notebook*, abrir o notebook **Trabalho 02.ipynb** e executar as células em ordem. Todo o algoritmo foi implementado na linguagem Python na versão 3.6.

As imagens de entrada utilizadas nos testes do algoritmo foram retiradas da página do prof. Hélio Pedrini: [Imagens](#). Na pasta **imgs/** estão as três imagens monocromáticas utilizadas nos testes: **baboon.pgm**, **fiducial.pgm**

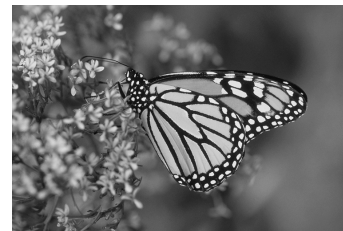
e **monarch.pgm**. As dimensões das imagens de entrada utilizadas são 512x512, 640x480 e 768x512, respectivamente.



**Figura 4:** *baboon.pgm*



**Figura 5:** *fiducial.pgm*



**Figura 6:** *monarch.pgm*

## III. DEPENDÊNCIAS E CÓDIGOS

As bibliotecas utilizadas neste trabalho foram:

Biblioteca	Versão
numpy	1.16.2
cv2	3.4.2
matplotlib	3.0.3
warnings	2.1

A leitura das imagens foi realizada utilizando uma função do **opencv** [1] chamada

`imread()`, a qual necessitou de uma constante do próprio `opencv` para que a imagem ficassem apenas com o canal de escala de cinza, essa constante é denominada `IMREAD_GRAYSCALE`.

As máscaras foram gerados manualmente através da função `numpy.array()`. A função para normalizar os níveis de cinza foi feita aplicando a fórmula de mudança de base descrita a seguir:

$$g(x) = \left( \frac{g_{\max} - g_{\min}}{f_{\max} - f_{\min}} \right) (f(x) - f_{\min}) + g_{\min}$$

A função de aplicação da técnica de pontilhamento *half-toning* foi feita manualmente, aplicando primeiramente a normalização de intensidade dos pixels, e depois o preenchimento da nova imagem com base nos valores que eram obtidos através da utilização da máscara como *threshold*.

As funções para a aplicação da técnica de pontilhamento com difusão de erro de *Floyd-Steinberg* também foram feitas manualmente, a qual a primeira, `floyd_steinberg_order1`, percorre a imagem como mostrado na Figura 3(a) e a segunda, `floyd_steinberg_order2`, percorre a imagem como mostrado na Figura 3(b).

#### IV. FUNDAMENTAÇÃO

##### i. Pontilhado Ordenado

Também conhecido como *Halftone* (meio-tom), o pontilhado ordenado é uma técnica de processamento de imagens que emprega padrões de pontos pretos ou brancos para reduzir o número de níveis de cinza de uma representação. Devido ao fato do sistema visual humano atenuar a distinção entre os pontos com tons diferentes, os padrões de pontos pretos e brancos produzem um efeito visual como se a imagem fosse composto por mais tons de cinza [4].

No caso de uma máscara 3x3, cada conjunto de níveis de cinza é representado por um padrão 3x3 de pontos brancos ou pretos. Uma área de 3x3 pixels cheia de pontos pretos é uma aproximação de um nível de cinza preto

(ou 0). De forma análoga, uma área 3x3 de pontos totalmente brancos será uma aproximação do branco em uma escala de nível de cinza (ou 9). Os demais padrões intermediários entre  $]0, 255[$  serão re-escalados para o intervalo  $[0, 9]$ , conforme ilustrado na Figura 7.

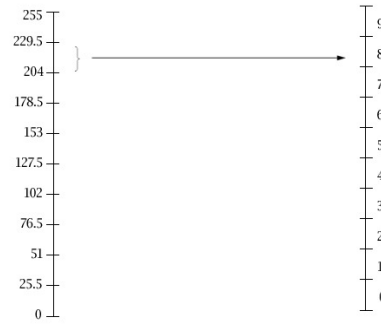


Figura 7: Transformação de escala com uma máscara 3x3.

É possível notar que utilizamos nove limiares (*threshold*) para a sub-codificação: o intervalo  $[0, 25.5[$  é truncado para 0,  $[25.5, 51[$  é truncado para 1,  $[51, 76.5[$  para 2, e assim por diante. Assim, cada pixel na imagem de entrada irá corresponder a um padrão de 3x3 pixels na imagem gerada. Desta forma, a resolução espacial será reduzida a 33% da resolução espacial original. Isto é, antes da substituição de cada pixel pela máscara devemos reduzir em  $\frac{1}{3}$  as dimensões da imagem para que o resultado tenha o mesmo tamanho da original [4].

##### ii. Pontilhado com Difusão de Erro

Pontilhado com difusão de erro é uma técnica de *halftone* que procura distribuir a diferença entre o valor exato de cada pixel e seu valor aproximado a um conjunto de pixels adjacentes. Diversas técnicas foram desenvolvidas com esta proposta, sendo o algoritmo de Floyd-Steinberg o primeiro desenvolvido utilizando esta abordagem [5].

O algoritmo varre a imagem da esquerda para a direita, de cima para baixo, quantificando os valores de pixel um por um. O erro

de quantização é transferido para os pixels vizinhos, embora não afete os pixels que já foram quantizados. Assim, se um número de pixels tiver sido arredondado para baixo, torna-se mais provável que o próximo pixel seja arredondado para cima, de modo que, em média, o erro de quantização seja próximo de zero.

Os coeficientes de difusão têm a propriedade de que, se os valores de pixel originais estiverem exatamente na metade entre as cores disponíveis mais próximas, o resultado pontilhado será um padrão de tabuleiro de damas. Por exemplo, 50% de dados em cinza podem ser pontilhados como um padrão quadriculado preto e branco. Para um pontilhamento ótimo, a contagem de erros de quantização deve ter precisão suficiente para evitar que os erros de arredondamento afetem o resultado [6].

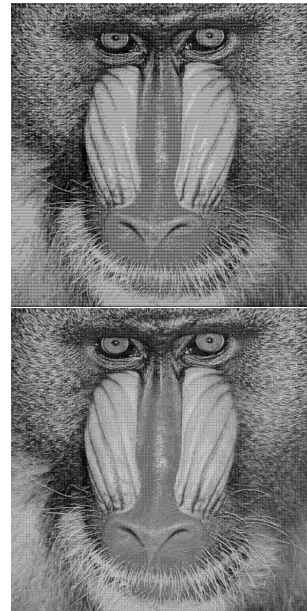


Figura 8: Aplicação das máscaras  $M_{3 \times 3}$  e  $M_{4 \times 4}$ , respectivamente, na imagem *baboon.pgm*.

## V. SAÍDA DE DADOS

Os imagens resultantes foram salvas dentro da pasta **resultados/** utilizando uma função da biblioteca **opencv** chamada **cv2.imwrite()** [1].

O formato dos nomes de saída estão da seguinte forma: para a técnica de pontilhado ordenado o padrão é o nome da imagem de entrada (*baboon*, *fiducial* e *monarch*) concatenado com o nome da máscara considerada para a aplicação da função sobre ela; para a técnica de pontilhado com difusão de erros são gerados duas imagens de saída para cada imagem de entrada, uma para cada forma de percorrer a imagem.

## VI. RESULTADOS E DISCUSSÕES

Os resultados obtidos com a aplicação da técnica de pontilhado ordenado (*halg-toning*) estão a seguir:

A Figura 8 apresenta os resultados da aplicação na imagem **baboon.pgm**, o qual o resultado da esquerda sofreu um aumento nas dimensões da imagem de 300%, pois isso está diretamente ligado ao tamanho da máscara. Como a máscara é  $3 \times 3$ , a imagem resultando possui 3 vezes mais *pixels* na dimensão  $x$  e  $y$ . A imagem resultante é formada também só por *pixels* pretos e brancos, pois cada *pixel* da imagem original resulta em "um *pixel*" do tamanho da máscara com valores 0 ou 255, porém no final, as imagens são transformadas em binárias para que cada *pixel* seja representado por um bit. A imagem que representa o resultado da aplicação da máscara  $M_{4 \times 4}$  (imagem da direita), possui dimensões 4 vezes maiores, por conta do tamanho da máscara. Como resultado visual, podemos observar que as imagens sofreram uma granularização dos *pixels* de acordo com o tamanho da máscara, é possível observar pequenos quadrados, proporcionais ao tamanho da máscara, na imagem. Então, podemos constatar que quanto maior for a máscara, maior será a imagem resultante e menor será a percepção desses quadrados,



se as imagens forem vistas com uma mesma dimensão final.

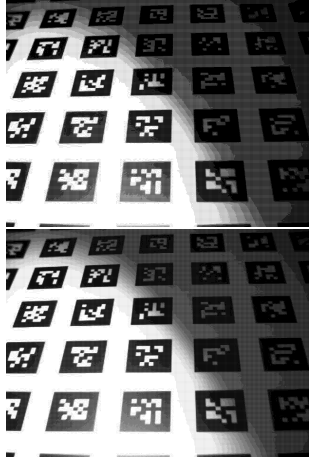


Figura 9: Aplicação das máscaras  $M_{3 \times 3}$  e  $M_{4 \times 4}$ , respectivamente, na imagem *fiducial.pgm*.

Na Figura 9, podemos constatar que o tamanho das imagens foi alterado também de acordo com o tamanho das máscaras, e como essa imagem de entrada possui menos detalhes que a anterior, pode-se observar melhor a diferença entre a aplicação das duas máscaras, a qual a máscara  $M_{4 \times 4}$  torna a imagem resultante mais nítida que a aplicação com a máscara  $M_{3 \times 3}$ .

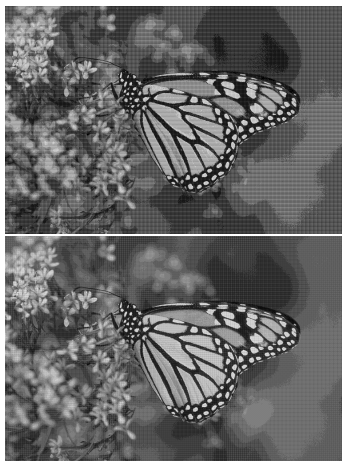


Figura 10: Aplicação das máscaras  $M_{3 \times 3}$  e  $M_{4 \times 4}$ , respectivamente, na imagem *monarch.pgm*.

Na Figura 10, podemos observar que algumas regiões sofreram um "agrupamento de intensidades" bem maior com a máscara  $M_{3 \times 3}$  do que com a máscara  $M_{4 \times 4}$ , a qual torna a imagem resultante com maior diferenciação visual das regiões, tendo assim um resultado melhor que o da aplicação da máscara  $M_{3 \times 3}$ .

Os resultados obtidos com a aplicação da técnica de pontilhado com difusão de erro (Floyd-Steinberg) estão a seguir:

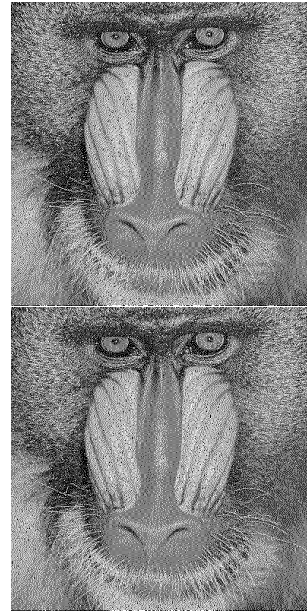
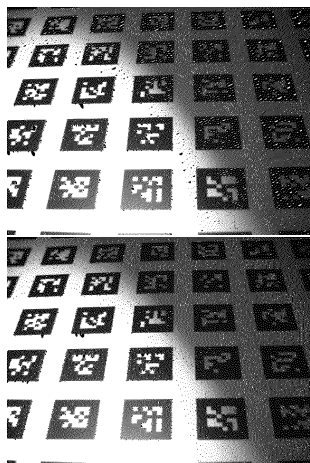


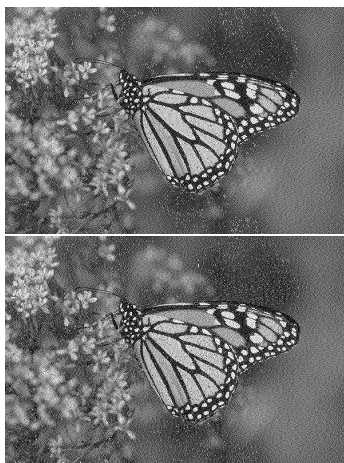
Figura 11: Aplicação a técnica de pontilhado com difusão de erros percorrendo a imagem *baboon.pgm* das duas formas.

A Figura 11 apresenta os resultados obtidos com a aplicação da técnica de pontilhado com difusão de erros, com duas formas de percorrer a imagem de entrada. As imagens resultantes não sofrem mudança nas suas dimensões, diferente da técnica anterior, e também são formadas apenas por *pixels* pretos e brancos. Como a imagem *baboon.pgm* possui um alto nível de detalhes, não é possível observar uma diferença significativa entre as duas formas de difundir o erro de cada *pixel*.



**Figura 12:** Aplicação a técnica de pontilhado com difusão de erros percorrendo a imagem *fiducial.pgm* das duas formas.

Na Figura 12, podemos observar que muitas regiões da primeira imagem possui algumas falhas, como conjuntos de *pixels* pretos em locais que era para ter *pixels* brancos, e vice-versa. Já na segunda imagem vemos que muitas das áreas defeituosas na primeira imagem estão consertadas aplicando a técnica de difusão de erro percorrendo de forma alternada, pois os erros são propagados nas direções esquerda-direita e direita-esquerda.



**Figura 13:** Aplicação a técnica de pontilhado com difusão de erros percorrendo a imagem *monarch.pgm* das duas formas.

Na Figura 13, podemos observar que em conjuntos de *pixels* que são limitantes de regiões com difentes intensidades, a aplicação da técnica percorrendo somente no sentido esquerda-direita, esses *pixels* tendem a ficar mais visíveis, porém, percorrendo de maneira alternada, as regiões de fronteiras tendem a ficar menos abruptas.

Com esses experimentos, podemos destacar a aplicação da técnica de difusão de erros de maneiras alternada obteve melhor resultado do que difundindo o erro somente em um sentido.

## VII. CONCLUSÃO

Podemos concluir que os resultados obtidos com as aplicações das técnicas de pontilhado ordenado e pontilhado com difusão de erro foram satisfatórios quanto a especificação do trabalho e que a visualização prática da normalização da imagem, transformação para intensidade binária e transformações com pontilhados nas imagens consolida ainda mais os conceitos vistos em sala de aula.

## REFERÊNCIAS

- [1] Welcome to opencv documentation!  
<https://docs.opencv.org/2.4/index.html>  
Acesso em: 04/05/2019.
- [2] Pedrini, Hélio, and William Robson Schwartz. *Análise de imagens digitais: princípios, algoritmos e aplicações*. Thomson Learning, 2008.
- [3] Matplotlib Version 3.0.3  
<https://matplotlib.org/contents.html>  
Acesso em: 04/05/2019.
- [4] SAWP, Dithering  
<http://www.sawp.com.br/blog/?p=940>  
Acesso em: 04/05/2019.
- [5] Digital Image Processing Using Python  
<https://ckpytsan.wordpress.com/2011/01/14/dithering-parte-iii-dithering-com-difusao-de-erro-e-o-algoritmo-de-floyd-steinberg/> Acesso em: 04/05/2019.

- [6] Wikipedia: Floyd–Steinberg dithering  
[https://en.wikipedia.org/wiki/Floyd-Steinberg\\_dithering](https://en.wikipedia.org/wiki/Floyd-Steinberg_dithering) Acesso em: 04/05/2019.